



بهینه‌سازی پارامترهای جوشکاری اصطکاکی - اغتشاشی موثر بر چرمنگی در فولاد زنگ نزن سوپر دوفازی

محمد یوسفیه

دانشکده مهندسی مواد و متالورژی، دانشگاه سمنان، سمنان، ایران.

(دریافت مقاله: 1400/05/10؛ پذیرش مقاله: 1400/06/20)

چکیده

در این مقاله به کمک روش تاگوچی، پارامترهای موثر بر چرمنگی فولادهای زنگ نزن سوپر دوفازی در جوشکاری اصطکاکی - اغتشاشی بهینه‌سازی شده است. برای دستیابی به شرایط بهینه به منظور رسیدن به حداقل چرمنگی، مشخصه کیفی هرچه بیشتر بهتر مورد استفاده قرار گرفت. تحلیل نتایج تاگوچی نشان داد برای رسیدن به شرایط بهینه به منظور دستیابی به حداقل چرمنگی در قطعات جوش فولاد زنگ نزن سوپر دوفازی باید سرعت چرخشی ابزار برابر 500 rpm سرعت جوشکاری برابر 60mm/min، فشار اولیه برابر 70MPa و زاویه ابزار با قطعه کار برابر 3 درجه باشد. در شرایط بهینه، چرمنگی حاصل از آزمایش J 61 به دست آمد که با تقریب خوبی نزدیک به چرمنگی پیش‌بینی شده (58J) بود. همچنین آنالیز واریانس برروی نتایج نسبت سیگال به نویز (S/N) انجام شد. با توجه به نتایج آنالیز واریانس، پارامتر سرعت چرخشی ابزار با درصد تاثیر 64% موثرترین پارامتر بر چرمنگی در جوشکاری اصطکاکی - اغتشاشی فولادهای زنگ نزن سوپر دوفازی شناخته شد. از طرفی پارامترهای سرعت جوشکاری (با درصد تاثیر 17%)، فشار اولیه (با درصد تاثیر 16%) و زاویه ابزار نسبت به قطعه کار (با درصد تاثیر 3%) در رتبه‌های بعدی قرار گرفتند. همچنین بررسی سطح مقطع شکست نمونه‌ها در آزمایش ضربه اثبات کرد نمونه‌ای که کمترین چرمنگی را در آزمایش ضربه داشت دارای مورفوЛОژی از نوع کلیوپیچ و در نتیجه شکست ترد بود. این در حالی بود که مورفولوژی سطح شکست نمونه مورد آزمایش در شرایط بهینه (با دارا بودن بالاترین چرمنگی در این تحقیق = J 61) دارای دیمپل‌های ریز و عمیق به مقدار زیاد بود. وجود دیمپل‌های ریز و عمیق به مقدار زیاد نشان دهنده شکست نرم و نهایتاً رسیدن به بالاترین چرمنگی بود.

کلمات کلیدی: جوشکاری اصطکاکی - اغتشاشی، فولاد زنگ نزن، بهینه سازی.

Optimization of friction stir welding parameters for toughness in super duplex stainless steel

M. Yousefieh

Department of Metallurgy and Materials Engineering, Semnan University, Semnan, Iran.

(Received 1 August 2021 ; Accepted 11 September 2021)

Abstract

In this paper, using the Taguchi method, the parameters affecting the toughness of super duplex stainless steels in friction stir welding were optimized. In order to achieve optimal conditions, maximum toughness, the quality characteristic was used as the higher the better. Analysis of Taguchi results showed that in order to achieve optimal conditions in super duplex stainless steel weldments must have a tool rotational speed of 500 rpm, a welding speed of 60 mm / min, an initial pressure of 70 MPa and a tool tilt angle with the workpiece is equal to 3 degrees. Under optimal conditions, the toughness obtained from the confirmation test was 61 J, which was very close to the predicted toughness (58 J). Analysis of variance was also performed on the results of signal to noise (S/N) ratio. According to the results of analysis of variance, the tool rotational speed parameter with an influence percentage of 64% was the most effective parameter on toughness in friction stir welding of super duplex stainless steels. On the other hand, the parameters of welding speed (with an influence percentage of 17 %), initial 2 pressure (with an influence percentage of 16%) and tool tilt angle to the workpiece (with an influence percentage of 3%) were in the next ranks. Also, SEM micrographs from

* نویسنده مسئول، پست الکترونیکی: m.yousefieh@semnan.ac.ir

fracture surface of the samples in the impact test proved that the sample that had the least toughness in the impact test had a cleavage morphology and as a result, brittle fracture. This was while the morphology of the fracture surface of the tested sample under optimal conditions (with the highest toughness in this study = 61 J) had a large amount of fine and deep dimples. The presence of these dimples in large quantities indicated ductile fracture and eventually reaching the highest toughness.

Keywords: Friction stir welding, Stainless steel, Optimization.

همکاران [8] خواص مکانیکی اتصالات آلومینیوم را در FSW بررسی کرده‌اند. آن‌ها ادعا کرده‌اند که خواص مکانیکی آلیاژهای آلومینیوم با افزایش سرعت چرخشی ابزار تحت تاثیر قرار می‌گیرد. در تحقیق دیگری پارامترهای موثر بر خواص FSW مکانیکی در آلیاژهای آلومینیوم-اسکاندیم که به روش FSW جوشکاری شده‌اند به وسیله روش تاگوچی بهینه سازی شده است [9]. صفری و همکاران [10] پارامترهای جوشکاری اصطکاکی-اغتشاشی را برای دستیابی به بیشینه استحکام شکست در فولاد IF بهینه‌سازی کرده‌اند. همچنین Yousefieh و همکاران [11] پارامترهای موثر بر جوشکاری قوسی تنگستن-گاز به کمک جریان پالسی بر روی فولادهای زنگ نزن دوفازی را بهینه سازی کرده‌اند. آن‌ها توانسته‌اند به کمک روش تاگوچی به حداقل مقاومت به خوردگی در قطعات جوش فولادهای زنگ نزن دوفازی دست یابند.

روش تاگوچی به عنوان یک روش سیستماتیک در طراحی و تحلیل آزمایش‌ها برای بهبود مشخصات کیفی شناخته شده است. اکثر روش‌های طراحی آزمایش (DOE) کارکرد تقریباً یکسانی دارند. اما از مزایای روش طراحی آزمایشات تاگوچی می‌توان به کاهش تعداد آزمایش‌ها و هزینه‌ها، امکان بررسی متغیرهای کیفی یا کمی با سطوح مختلف، تعیین سهم متغیرها، امکان تخمین نتایج در شرایط بهینه، امکان تخمین نتایج در سطوح دلخواه، تعیین سهم اثرات متقابل در نظر گرفته شده برای متغیرها و امکان بدست آوردن همزمان شرایط بهینه برای چندین تابع پاسخ اشاره نمود، اما عدم بررسی کلیه اثرات متقابل در بعضی از مواقع می‌تواند از معایب این روش باشد [11 و 12]. یکی از اهداف این تحقیق بهینه‌سازی پارامترهای جوشکاری اصطکاکی-اغتشاشی به کمک روش تاگوچی است تا چرمگی مطلوب در ورق‌های جوشکاری شده به دست آید.

۱- مقدمه

فولادهای زنگ نزن سوپر دوفازی به طور وسیعی در صنایع نفت و گاز، پتروشیمی و فرایندهای شیمیایی مورد استفاده قرار می‌گیرند. این فولادها نام خود را از ریز ساختارشان در دمای محیط گرفته‌اند که شامل دو فاز فریت و آستنیت هستند. در نتیجه این ریز ساختار ترکیبی از مجموع خواص فولادهای زنگ نزن آستنیتی و فریتی حاصل می‌شود [۱ و ۲].

جوشکاری اصطکاکی اغتشاشی نوعی فرایند جوشکاری حالت جامد بوده که در آن از یک ابزار مصرف نشدنی از جنس سخت‌تر از فلز مورد جوشکاری، که دارای حرکت همزمان دورانی و خطی است استفاده می‌شود. از مهمترین مزایای جوشکاری اصطکاکی اغتشاشی در مقایسه با فرایندهای جوشکاری حالت مذاب می‌توان به اعوجاج و تنفس پسماند کمتر و همچنین دمای پایین تر اشاره نمود [۳ و ۴].

تحقیقات مختلفی بر روی ریز ساختار و خواص مکانیکی و حرارتی بر روی آلیاژهای مختلف در جوشکاری اصطکاکی-اغتشاشی انجام شده است. به عنوان مثال یوسفیه و همکاران [5] نقش دما را در جوشکاری اصطکاکی-اغتشاشی فولاد زنگ نزن دوفازی بررسی کرده‌اند. آن‌ها ابتدا تخمین دما را در دامنه تعریف دمای اندازه گیری شده در فواصل مختلف از مرکز منطقه اختلاط به وسیله تابع درونیاب لگرانژ چند متغیره، مدل‌سازی کرده و سپس از دو روش بروونیاب خطی و روش رگرسیون خطی چندگانه برای تخمین دما در خارج از بازه و در مرکز منطقه اختلاط استفاده کرده‌اند. Pitchipoo و همکاران [6] نیز به نتایج قابل قبولی در آلیاژهای دیگر (به غیر از فولاد زنگ نزن سوپر دوفازی) در زمینه بهینه سازی پارامترهای جوشکاری اصطکاکی-اغتشاشی از جمله زاویه ابزار با قطعه کار دست یافته‌اند. Babu و همکاران [7] و همچنین Zhang و

جدول ۱- ترکیب شیمیایی فولاد زنگ نزن سوپردوفازی (برحسب درصد وزنی).

| P | N | Mo | Si | Ni | Cr | Mn | C | عنصر |
|-------|-------|-----|-------|-----|------|-------|-------|-----------------------|
| .۰/۰۲ | .۰/۲۳ | ۲/۴ | .۰/۹۳ | ۶/۳ | ۲۵/۷ | .۰/۸۲ | .۰/۰۳ | فلز پایه (UNS S32760) |

جدول ۲- پارامترهای طراحی و سطوح مربوطه.

| سطح | علامت | | | پارامتر |
|-----|-------|-----|---|-----------------------------|
| | ۳ | ۲ | ۱ | |
| ۷۵۰ | ۵۰۰ | ۲۵۰ | A | سرعت چرخشی ابزار (rpm) |
| ۹۰ | ۶۰ | ۳۰ | B | سرعت جوشکاری (mm/min) |
| ۳ | ۲/۵ | ۲ | C | زاویه ابزار با قطعه کار (°) |
| ۷۰ | ۵۰ | ۳۰ | D | فشار اولیه (MPa) |

چرخشی ابزار 200 rpm حاکم است و با افزایش سرعت جوشکاری این شرایط تشدید می‌شود. در واقع در سرعت چرخشی ابزار 200 rpm، انرژی ورودی به مواد در حال سیلان و دما به اندازه کافی بالا نیست و در نتیجه نقص تونلی در منطقه‌ی اختلاط به دلیل دمای پایین ظاهر شد. از طرفی در سرعت چرخشی ابزار بالا (سرعت چرخشی ابزار 800 rpm)، اختلاط نامناسب باعث تشکیل نقص تونلی شد. از آنجایی که در سرعت چرخشی ابزار 800 rpm دمای منطقه‌ی اختلاط به اندازه‌ی کافی بالاست، لذا پایین بودن دما نمی‌تواند عامل ایجاد نقص تونلی در این نمونه باشد. بنابراین نقص تونلی در این نمونه‌ها به دلیل اختلاط نامناسب است، که این شرایط با افزایش سرعت جوشکاری تشدید شد.

در نتیجه سطوح 250, 500 و 750 rpm به عنوان سطوح مناسب برای پارامتر سرعت چرخشی ابزار انتخاب شدند. درجه آزادی کل در یک ماتریس ارتوگونال باید بیشتر از تعداد پارامترها و یا حداقل برابر با آن باشد. در این تحقیق، درجه آزادی کل برابر با 8 است. با توجه به طرح تاگوچی، ماتریس ارتوگونال (34) L9 به صورت آورده شده در جدول (3) انتخاب شد. با انتخاب ماتریس ارتوگونال (34) L9 تعداد آزمایش‌ها به عدد 9 کاهش یافت. در حالی که اگر از روش فاکتوریل کامل استفاده شود، باید تعداد 34 آزمایش انجام شود. ورق‌های فولاد زنگ نزن سوپر دوفازی بر اساس طرح تاگوچی و با توجه به ماتریس ارتوگونال (34) L9 تحت جوشکاری اصطکاکی - اغتشاشی قرار گرفتند. محل اتصال تمامی نمونه‌ها قبل از جوشکاری به وسیله محلول 5 درصد

همچنین در این تحقیق به کمک آنالیز واریانس درصد تاثیر هر پارامتر در فرایند FSW در قطعات جوش فولاد سوپردوفازی مشخص شده است. مراحل روش تاگوچی عبارتند از: تعیین مشخصه کیفی و تعیین پارامترهای طراحی، تعیین تعداد سطوح، انتخاب ماتریس ارتوگونال مناسب، انجام آزمایش‌ها بر اساس ماتریس ارتوگونال انتخاب شده، ارزیابی نتایج با استفاده از نسبت سیگنانل به نویز، انتخاب سطوح بهینه پارامترها، تایید شرایط بهینه با استفاده از آزمایش تایید [11].

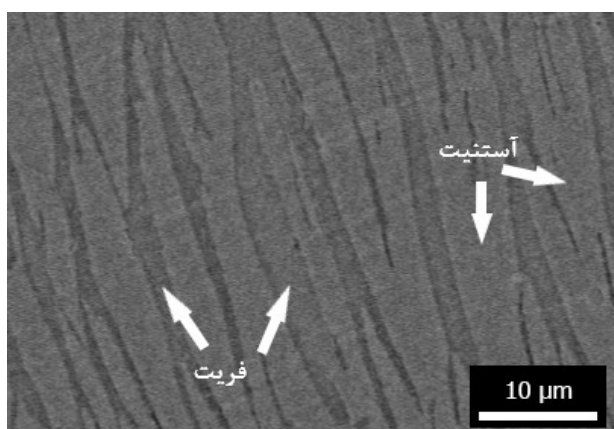
2- مواد و روش تحقیق

در تحقیق حاضر از ورق‌های فولاد زنگ نزن سوپردوفازی (UNS S32760) استفاده شد که ترکیب شیمیایی آن در جدول (1) آورده شده است.

طرح آزمایش در روش تاگوچی بر اساس فاکتوریل جزیی است. انتخاب ماتریس ارتوگونال مناسب، وابسته به تعداد پارامترهای قابل کنترل و سطوح موردنظر دارد. چهار پارامتر شامل فشار اولیه، سرعت چرخشی ابزار، سرعت جوشکاری و زاویه ابزار با قطعه کار در سه سطح مختلف به عنوان پارامترهای متغیر انتخاب شدند (جدول ۲). در نمونه‌هایی که بالاتر و پایین‌تر از سطوح انتخاب شده در این تحقیق جوشکاری شدند عیوبی مانند نقص تونلی مشاهده شد. به عنوان مثال در نمونه‌های جوشکاری شده با سرعت‌های چرخشی ابزار 200 rpm و 800 rpm (بالاتر و پایین‌تر از سطوح انتخابی در این تحقیق) نقص تونلی مشاهده شد. شرایط جوشکاری سرد (در سرعت چرخشی ابزار کم) در سرعت

جدول ۳- ماتریس ارتوگونال L9، نتایج آزمایش ضربه و نسبت های S/N

| S/N | نسبت مربوطه | چقرمگی (J) | پارامتر | | | | | شماره آزمایش |
|---------|----------------|---------------|---------------------|-----------------------------------|--------------------------------------|------------------------------|--|-----------------|
| | | | فشار اولیه (MPa) | زاویه ابزار با قطعه کار (°) | سرعت جوشکاری ابزار (mm/min) | سرعت چرخشی ابزار (rpm) | | |
| ۳۳,۰۶۴۳ | ۴۵ | ۳۰ | ۲ | ۲۰ | ۲۵۰ | ۱ | | |
| ۳۳,۸۰۳۹ | ۴۹ | ۵۰ | ۲/۵ | ۶۰ | ۲۵۰ | ۲ | | |
| ۳۴,۱۵۱۴ | ۵۱ | ۷۰ | ۳ | ۹۰ | ۲۵۰ | ۳ | | |
| ۳۴,۴۸۵۵ | ۵۳ | ۷۰ | ۲/۵ | ۳۰ | ۵۰۰ | ۴ | | |
| ۳۴,۸۰۷۳ | ۵۵ | ۳۰ | ۳ | ۶۰ | ۵۰۰ | ۵ | | |
| ۳۴,۳۲۰۱ | ۵۲ | ۵۰ | ۲ | ۹۰ | ۵۰۰ | ۶ | | |
| ۳۲,۸۶۹۱ | ۴۴ | ۵۰ | ۳ | ۳۰ | ۷۵۰ | ۷ | | |
| ۳۳,۹۷۹۴ | ۵۰ | ۷۰ | ۲ | ۶۰ | ۷۵۰ | ۸ | | |
| ۳۲,۶۶۹۴ | ۴۳ | ۳۰ | ۲/۵ | ۹۰ | ۷۵۰ | ۹ | | |



شکل ۱- ریزساختار فولاد زنگ نزن سوپردوفاعی

به طور کلی سه نوع نسبت سیگنال به نویز (S/N) را می‌توان با توجه به مشخصه کیفی مورد نظر انتخاب کرد که عبارتند از: اندازه اسمی بهتر (NB)، هر چه بیشتر بهتر (HB) و هرچه کمتر بهتر (LB). بزرگترین نسبت S/N مربوط به بهترین عملکرد است. با توجه به اینکه هدف از این پژوهش رسیدن به حداقل چقرمگی در ورق‌های جوش فولاد زنگ‌زن سوپردوفاعی است، لذا مشخصه کیفی هر چه بیشتر بهتر (HB) بر مبنای معادله (1) انتخاب شد [۱۱ و ۱۴]:

$$S/N = -10 \log_{10} \left(\frac{1}{n} \sum_{i=1}^n \frac{1}{Y_i^2} \right) \quad (1)$$

که Y_i هر کدام از نتایج بدست آمده و n تعداد آزمایش‌ها است. در این تحقیق انرژی ضربه به دست آمده در آزمایش ضربه شارپی

اسید نیتریک و ۹۵ درصد آب مقطر، اکسیدزدایی و چربی زدایی شده و سپس توسط الکل تمیزکاری شدند. آماده‌سازی اولیه نمونه‌ها به وسیله سنباده‌زنی با سنباده‌های ۸۰ تا ۲۴۰۰ انجام گرفت و سپس نمونه‌ها با آب مقطر و الکل شسته شدند. برای بررسی ریزساختار، نمونه‌ها با پودر آلومینا ۰/۳ میکرون پولیش شده و سپس به صورت الکتروشیمیایی در محلول ۱۰M KOH در پتانسیل ۱/۵ ولت به مدت ۵ ثانیه اج شدند. برای مشاهده ریزساختار و همچنین بررسی سطح شکست نمونه‌های حاصل از آزمایش ضربه از میکروسکوپ الکترونی روبشی (SEM) که مجهز به سیستم طیف‌نگاری به روش تفکیک انرژی بود، استفاده شد. به منظور بررسی چقرمگی از آزمایش ضربه شارپی با نمونه‌های با شیار ۷ و بر مبنای استاندارد ASTM E23 استفاده شد [۱۳]. آزمایش ضربه شارپی در دمای اتاق انجام شد.

۳- نتایج و بحث

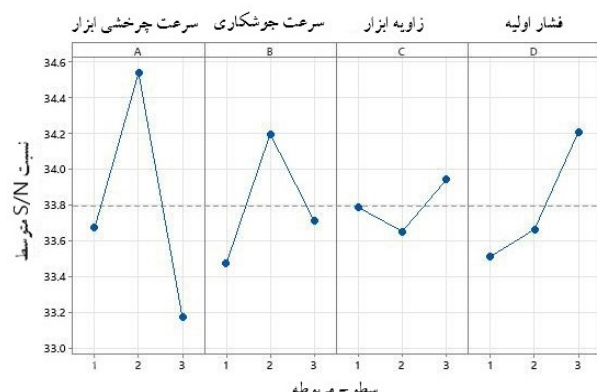
۱-۱- ریزساختار اولیه، نتایج تاگوچی و مورفولوژی سطح شکست

شکل (1) تصویر میکروسکوپ الکترونی روبشی از ریزساختار اولیه فولاد زنگ نزن سوپردوفاعی را نشان می‌دهد. ریزساختار فولاد زنگ نزن سوپردوفاعی شامل فازهای آستینیت و فریت است. جزایر روشن رنگ آستینیت در زمینه پیوسته فریت قرار گرفته‌اند.

جدول ۴- نسبت S/N متوسط برای هر پارامتر در هر سطح.

| پارامتر | | | | | سطح |
|------------|-------------------------|--------------|------------------|---|-----|
| D | C | B | A | | |
| فشار اولیه | زاویه ابزار با قطعه کار | سرعت جوشکاری | سرعت چرخشی ابزار | | |
| ۳۳/۵۱ | ۳۲/۷۹ | ۳۲/۴۷ | ۳۲/۶۷ | ۱ | |
| ۳۳/۶۶ | ۳۲/۶۵ | ۳۴/۲۰ | ۳۴/۵۴ | ۲ | |
| ۳۴/۲۱ | ۳۲/۹۴ | ۳۲/۷۱ | ۳۲/۱۷ | ۳ | |

بنابراین، A2B2C3D3 بیانگر شرایط بهینه برای پارامترهای جوشکاری اصطکاکی - اغتشاشی هستند. شکل (۲) تاثیر پارامترهای مختلف را بر نسبت S/N متوسط نشان می‌دهد. در مورد پارامترهای سرعت چرخشی و سرعت جوشکاری، نسبت S/N متوسط تا رسیدن به یک پیک در سرعت چرخشی ۵۰۰ rpm و سرعت جوشکاری ۶۰ mm/min افزایش یافته است. در واقع حداکثر چقرمگی، در سطح دوم از پارامترهای سرعت چرخشی ابزار و سرعت جوشکاری به دست آمد. با افزایش سرعت چرخشی ابزار از ۵۰۰ rpm و سرعت جوشکاری از ۶۰ mm/min، نسبت S/N متوسط کاهش یافته است. با کاهش نسبت سیگنال به اختلال متوسط، چقرمگی نیز کاهش خواهد یافت.



شکل ۲- تاثیر پارامترهای مختلف فرایند بر نسبت S/N متوسط

در مورد پارامتر زاویه ابزار با قطعه کار، نسبت S/N متوسط تا رسیدن به یک کمینه در زاویه ابزار ۲/۵ درجه کاهش یافته است. در نتیجه حداقل چقرمگی، در سطح دوم از پارامتر زاویه ابزار یعنی ۲/۵ درجه به دست آمد. با افزایش زاویه ابزار به ۳ درجه، نسبت S/N متوسط افزایش یافته و به بیشینه مقدار خود رسیده است.

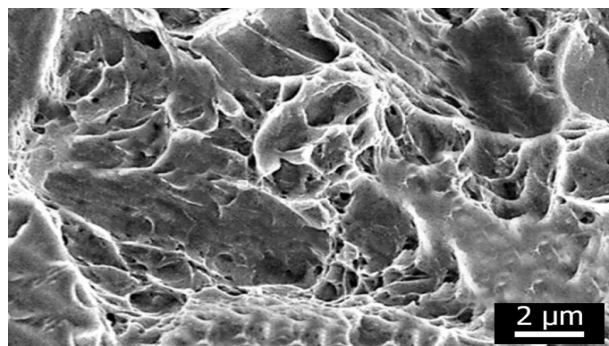
به عنوان معیاری از چقرمگی در نظر گرفته شده است. نتایج چقرمگی و مقادیر S/N مربوط به هر آزمایش در جدول (۳) آورده شده است. برای ارزیابی اثر هر پارامتر بر روی چقرمگی، نسبت S/N برای هر پارامتر باید محسوبه شود. این نسبت برای یک پارامتر از میانگین نسبت‌های S/N در سطوح مختلف بدست می‌آید که این مقادیر در هر سطح در جدول (۴) آورده شده است.

پس از محاسبه نسبت‌های S/N متوسط برای پارامترهای متفاوت در سطوح مختلف، سطح بهینه برای هر پارامتر که دارای بزرگ‌ترین نسبت S/N در سطوح آن پارامتر است، تعیین می‌شود. همانطور که در جدول (۴) مشاهده می‌شود، در هر سطون، سطح بهینه برای پارامتر مورد نظر به صورت عدد ضخیم و مورب نشان داده شده است. برای پارامتر سرعت چرخشی ابزار، سطح ۲ دارای بیشترین نسبت S/N متوسط است، بنابراین سرعت چرخشی ابزار برابر ۵۰۰ rpm به عنوان سطح بهینه برای این پارامتر شناخته شد. همچنین برای پارامتر سرعت جوشکاری، حداکثر نسبت S/N متوسط در سطح ۲ به دست آمد، در نتیجه سرعت جوشکاری برابر ۶۰ mm/min به عنوان سطح بهینه در این پارامتر است. در مورد پارامتر زاویه ابزار با قطعه کار، بیشترین مقدار S/N متوسط در سطح ۳ به دست آمده است، لذا سطح بهینه برای پارامتر زاویه ابزار با قطعه کار ۳ درجه بود. نهایتاً در مورد پارامتر فشار اولیه، سطح ۳ دارای بیشترین نسبت S/N متوسط بود، در نتیجه فشار اولیه ۷۰ MPa به عنوان سطح بهینه برای این پارامتر معرفی شد. همان طور که در جدول (۴) مشاهده می‌شود A2، B2، C3 و D3 به ترتیب نشان دهنده بزرگ‌ترین مقدار برای پارامترهای A، B، C و D هستند.

جدول ۵- دلتا (Δ) برای پارامترهای مختلف.

| پارامتر | زاویه ابزار با قطعه کار | سرعت جوشکاری | سرعت چرخشی ابزار | پارامتر دلتا (Δ) |
|------------|-------------------------|--------------|------------------|---------------------------|
| فشار اولیه | زاویه ابزار با قطعه کار | جوشکاری | ابزار | پارامتر دلتا (Δ) |
| ۰/۶۹ | ۰/۲۹ | ۰/۷۲ | ۱/۳۷ | ۰/۶۹ |
| ۳ | ۴ | ۲ | ۱ | ۰/۶۹ |

اهمیت قرار دارد. نهایتاً زاویه ابزار با قطعه کار دارای کمترین دلتا ($\Delta=0/29$) و در نتیجه در رتبه چهارم اهمیت قرار گرفت. شکل های (3) و (4) به ترتیب تصاویر SEM از سطح مقطع شکست نمونه های ضربه برای آزمایش های شماره ۹ (دارای کمترین مقدار چقرمگی $J=43$) و شماره ۵ (دارای بیشترین مقدار چقرمگی $J=55$) را نشان می دهد. در شکل (3) به وضوح مورفولوژی از نوع کلیویج که نشان دهنده شکست ترد است مشاهده می شود. به همین دلیل در آزمایش شماره ۹ کمترین مقدار چقرمگی به دست آمده است. در شکل (4) ترکیبی از مورفولوژی از نوع کلیویج همراه با دیمپل های با اندازه متوسط دیده می شود. این مورفولوژی سطح شکست بیانگر ترکیبی از SEM از شکست نرم و ترد است. وجود دیمپل ها در تصویر SEM از سطح مقطع شکست نمونه ضربه در آزمایش شماره ۵ دلیلی بر بالاتر بودن چقرمگی در این نمونه نسبت به نمونه آزمایش شماره ۹ است.



شکل ۳- تصویر SEM از سطح مقطع شکست نمونه ضربه در آزمایش شماره ۹

3- آنالیز واریانس (ANOVA)

تحلیل SN تنها نشان می دهد کدام پارامتر اثر بیشتری بر فرایند دارد و تاثیر پارامتر را به صورت کیفی تحلیل می کند، اما آنالیز واریانس میزان این اثر را ارزیابی و به صورت کمی بیان می کند. در واقع ANOVA یک روش آماری برای تخمین کمی در

در واقع حداکثر چقرمگی، در سطح سوم از پارامتر زاویه ابزار یعنی ۳ درجه به دست آمده است. پارامتر فشار اولیه رفتار متفاوتی نسبت به سایر پارامترها دارد. به طوری که با افزایش فشار اولیه از سطح ۱ (30 MPa) به سطح ۲ (50 MPa) و در ادامه به سطح ۳ (70 MPa)، نسبت S/N متوسطه طور مستمر افزایش یافته است. به طوری که کمترین نسبت S/N متوسط در سطح ۱ و بیشترین نسبت S/N متوسط در سطح ۳ به دست آمده است. بنابراین حداکثر چقرمگی در سطح سوم از پارامتر فشار اولیه یعنی 70 MPa به دست آمد.

همچنین همانطور که در شکل (2) مشاهده می شود شب خوط ط بین سطوح مختلف برای پارامترهای سرعت چرخشی، سرعت جوشکاری و زاویه ابزار با قطعه کار یکسان نیست. بنابراین می توان گفت سطوح مختلف در این پارامترها، اثرات متفاوتی بر چقرمگی در قطعات جوش فولادهای زنگ نزن سوپردوفاعی دارند. از طرفی مشاهده می شود که تغییر شب خوط در پارامتر سرعت چرخشی ابزار بسیار تند است، لذا می توان نتیجه گرفت که پارامتر سرعت چرخشی ابزار بیشترین تاثیر را بر چقرمگی در فرایند جوشکاری اصطکاکی -اغتشاشی برای فولادهای زنگ نزن سوپردوفاعی دارد.

پارامتر دلتا (Δ) در جدول (5) اختلاف بین حداکثر و حداقل میانگین نسبت های S/N در سطوح مختلف برای یک پارامتر است. هرچه دلتا برای یک پارامتر بزرگ تر باشد، نشان دهنده مهم تر بودن پارامتر مورد نظر نسبت به سایر پارامترها است. در واقع دلتا تاثیر پارامترهای موثر بر فرایند را به صورت کیفی بیان می کند. با توجه به جدول (5)، بزرگ ترین دلتا ($\Delta=1/37$) مربوط به پارامتر سرعت چرخشی ابزار است. لذا سرعت چرخشی ابزار مهم ترین پارامتر بر چقرمگی قطعات جوش فولاد زنگ نزن سوپردوفاعی است. سرعت جوشکاری با دلتای برابر ۰/۷۲ در رتبه دوم و فشار اولیه با دلتای برابر ۰/۶۹ در رتبه سوم

جدول ۶- نتایج آنالیز واریانس.

| پارامتر | DOF | واریانس | جمع مرباعات | درصد تاثیر | رتبه |
|----------------------------|-----|---------|-------------|------------|------|
| سرعت چرخشی ابزار | ۲ | ۴۵/۴۴۴ | ۹۰/۸۸۹ | ۶۴ | ۱ |
| سرعت جوشکاری | ۲ | ۱۲/۴۴۳ | ۲۴/۸۸۷ | ۱۷ | ۲ |
| زاویه ابزار با قطعه کار | ۲ | ۲/۱۱۱ | ۴/۲۲۲ | ۳ | ۴ |
| فشار اولیه | ۲ | ۱۱/۴۴۵ | ۲۲/۸۹۰ | ۱۶ | ۳ |
| خطا | ۰ | ۰ | ۰ | ۰ | ۰ |
| مجموع | ۸ | ۱۴۲/۸۸۸ | ۱۴۲/۸۸۸ | ۱۰۰ | |

پیش بینی شده [S/N]Predicted که از سطوح بهینه پارامترهای FSW استفاده می کند بر اساس معادله (2) محاسبه شد [11] و [16]:

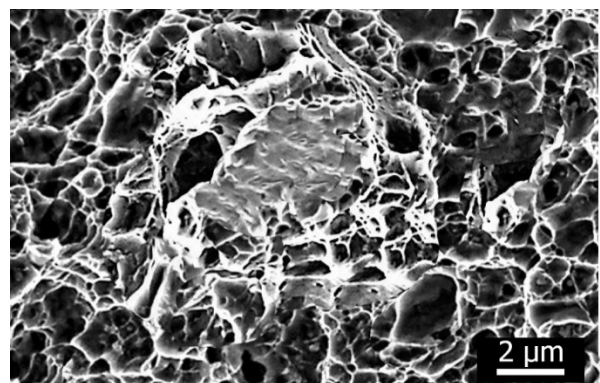
$$(S/N)_{predicted} = (S/N)_m + \sum_{i=1}^p ((\overline{S/N})_i - (S/N)_m) \quad (2)$$

که $(S/N)_m$ میانگین کل نسبت S/N_i میانگین نسبت S/N در سطح بهینه و p تعداد پارامترهای موثر در فرایند FSW است. نهایتاً پس از تعیین نسبت S/N پیش بینی شده، چرمگی پیش بینی شده با استفاده از معادله (1) بدست آمد.

جدول (7) چرمگی پیش بینی شده و چرمگی در آزمایش تایید را نشان می دهد. همانطور که مشاهده می شود چرمگی برابر J 61 در آزمایش تایید به دست آمد. از طرفی با توجه به معادلات (1) و (2)، چرمگی پیش بینی شده برابر J 58 حاصل شد که با تقریب خوبی نزدیک به چرمگی در آزمایش تایید است. چرمگی به دست آمده در آزمایش تایید که در شرایط بهینه انجام شده است بالاترین مقدار چرمگی به دست آمده در این تحقیق است.

شکل (5) تصویر SEM از سطح مقطع شکست نمونه ضربه در آزمایش تایید و در شرایط بهینه را نشان می دهد. همانطور که در این شکل دیده می شود مورفولوژی در حالت بهینه همراه با دیمپل های (Dimples) ریز و عمیق به مقدار زیاد است. این مورفولوژی نشان دهنده شکست نرم است و به همین دلیل بالاترین مقدار چرمگی در شرایط بهینه (چرمگی برابر J 61)

نسبت توزیع هر پارامتر است [11] و [15]. آنالیز واریانس بر اساس مراحل چهارگانه و معادلات اشاره شده در منابع [11] و [12] انجام شد. نتایج آنالیز واریانس در جدول (6) آورده شده است. همانطور که مشاهده می شود، سرعت چرخشی ابزار با درصد تاثیر برابر 64% به عنوان موثرترین پارامتر در فرایند FSW بر چرمگی قطعات جوش فولادهای زنگ نزن سوپر دوفازی شناخته شد. سرعت جوشکاری با درصد تاثیر 17% دومین پارامتر موثر در فرایند FSW می باشد. پارامتر فشار اولیه با درصد تاثیر 16% و زاویه ابزار با قطعه کار با درصد تاثیر 3% به عنوان رتبه های بعدی موثر در فرایند FSW شناخته شدند.



شکل ۴- تصویر SEM از سطح مقطع شکست نمونه ضربه در آزمایش شماره ۵

3- آزمایش تایید

آزمایش تایید با توجه به سطوح بهینه مشخص شده انجام و سپس با مقادیر پیش بینی شده مقایسه شد. همچنین نسبت S/N

جدول ۷- نتایج چفرمگی در آزمایش تایید و پیش‌بینی شده (در سطوح بهینه $A_2B_2C_3D_3$).

| آزمایش شده | آزمایش شده | S/N | چفرمگی (J) |
|--------------|------------|-----|------------|
| پیش‌بینی شده | | | |
| ۳۵/۲۶۸۵ | ۳۵/۷۰۶۵ | | |
| ۵۸ | ۶۱ | | |

رتبه دوم، پارامتر فشار اولیه با درصد تاثیر ۱۶% در رتبه سوم و زاویه ابزار با قطعه کار با درصد تاثیر ۳% در رتبه بعدی قرار گرفتند.

- با تحلیل نتایج شرایط بهینه برای دستیابی به بالاترین چفرمگی در این قطعات جوش بدین صورت حاصل شد: سرعت چرخشی ابزار (500 rpm)، سرعت جوشکاری (60 mm/min)، فشار اولیه (70 MPa) و زاویه ابزار با قطعه کار (3 درجه).

- بررسی سطح مقطع شکست نمونه‌ها در آزمایش ضربه نشان داد نمونه‌ای که کمترین چفرمگی را داشت دارای مورفوژوئی از نوع کلیویچ و در نتیجه شکست از نوع ترد بود، در حالی که نمونه بهینه که بالاترین چفرمگی در این تحقیق را داشت، دارای دیمپلهای ریز و عمیق به مقدار زیاد بود. این مورفوژوئی نوید بخش شکست نرم و دلیلی بر دستیابی به بالاترین چفرمگی (J 61) در این تحقیق بود.

تقدیر و تشکر

بدین‌وسیله از حمایت‌های مادی و معنوی دانشگاه سمنان کمال تشکر و قدردانی را دارم.

منابع

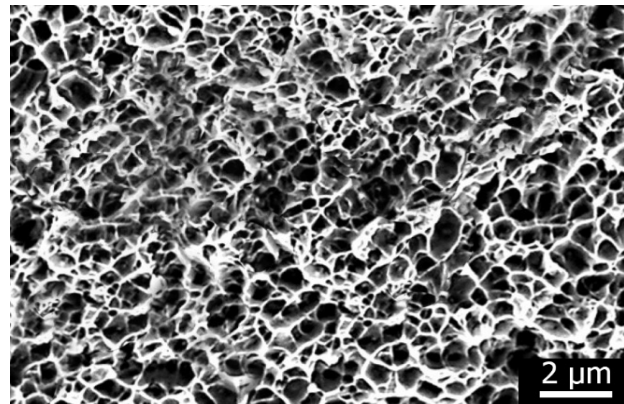
1- Yang, C., Jeyaprakash, N., Hsu, Y., "Applicability of non-destructive laser ultrasound and non-linear ultrasonic technique for evaluation of thermally aged CF8 duplex stainless steel", *International Journal of Pressure Vessels and Piping*, Vol. 193, p. 104451, 2021.

2- اهل سرمدی، م، "شماعیان، م، عطابر، م، ادريس، ح. و بهجت، ا، "بررسی رفتار خوردگی فلز پایه و مقاطع جوش ذوبی فولاد سوپردوفاعی UNS S32750" ، نشریه علوم و فناوری جوشکاری ایران، سال سوم، شماره ۱، ص ص 28-21 .1396

3- صفری، م. و دیلمی عضدی، ح، "بررسی تجربی شکل‌پذیری

در این تحقیق به دست آمده است.

با توجه به نتایج فوق می‌توان نتیجه گرفت که روش تاگوچی یک روش مناسب جهت طراحی آزمایش در فرایند جوشکاری اصطکاکی- اغتشاشی در فولادهای زنگ نزن سوپردوفاعی است به طوری که تحت شرایط بهینه می‌توان به حداقل چفرمگی دست یافت.



شکل ۵- تصویر SEM از سطح مقطع شکست نمونه ضربه در آزمایش تایید

4- نتیجه گیری

در این تحقیق از روش تاگوچی جهت بهینه سازی پارامترهای فرایند جوشکاری اصطکاکی- اغتشاشی جهت دستیابی به حداقل چفرمگی در قطعات جوش فولاد زنگ نزن سوپردوفاعی استفاده شد. چهار پارامتر شامل سرعت چرخشی ابزار، سرعت جوشکاری، فشار اولیه و زاویه ابزار با قطعه کار در سه سطح مختلف انتخاب شدند. با توجه به تعداد پارامترها و سطوح در نظر گرفته شده، ماتریس ارتوگونال L9 که شامل نه آزمایش بود انتخاب شد. نتایج زیر از این تحقیق به دست آمده: - نتایج تاگوچی و آنالیز واریانس نشان داد که پارامتر سرعت چرخشی ابزار با درصد تاثیر ۶۴% به عنوان مهم‌ترین پارامتر در فرایند FSW در قطعات جوش فولاد زنگ نزن سوپردوفاعی است. همچنین پارامتر سرعت جوشکاری با درصد تاثیر ۱۷% در

10- صفری، م.، مستعان، ح. و بختیاری، آ.، "بهینه‌سازی متغیرهای فرایند جوشکاری اصطکاکی اغتشاشی با هدف دستیابی به استحکام شکست بیشینه"، نشریه علوم و فناوری جوشکاری ایران، سال ۲، شماره ۱، ص ۳۲-۴۸-۳۲. ۱۳۹۵.

11- Yousefieh, M., Shamanian, M., Saatchi, A., "Optimization of the pulsed current gas tungsten arc welding (PCGTAW) parameters for corrosion resistance of super duplex stainless steel (UNS S32760) welds using the Taguchi method", *Journal of Alloys and Compounds*, Vol. 509, pp. 782-788, 2011.

12- Yousefieh, M., Tamizifar, M., Boutorabi, S.M.A. et al., "Taguchi Optimization on the Initial Thickness and Pre-aging of Nano-/Ultrafine-Grained Al-0.2 wt.%Sc Alloy Produced by ARB", *Journal of Materials Engineering and Performance*, Vol. 25, pp. 4239-4248, 2016.

13- Annual Book of ASTM Standards, Designation E-23-94b, p 137, 1995.

14- Beg, S., "Taguchi and Plackett-Burman Designs in Pharmaceutical Product Development", In: Beg S. (eds) Design of Experiments for Pharmaceutical Product Development. Springer, Singapore, 2021.

15- Palani, P.K., Chithambaram, K., Rajeswari, B., "Optimization of Particle Size of Teak Wood Saw Powder Using Taguchi Method" In: Mohan S., Shankar S., Rajeshkumar G. (eds) Materials, Design, and Manufacturing for Sustainable Environment. *Lecture Notes in Mechanical Engineering*, Springer, Singapore, 2021.

16- Bhaskar Mutyalu, K., Venkatrami Reddy, V., Uma Maheswara Reddy, S., Lakshmi Prasad, K., "Effect of machining parameters on cutting forces during turning of EN 08, EN 36 & mild steel on high speed lathe by using Taguchi orthogonal array", *Materials Today: Proceedings*, In Press, Corrected Proof, Available online 12 July 2021.

ورق‌های ترکیبی جوشکاری شده بسیار نازک فولاد IF با روش جوشکاری اصطکاکی اغتشاشی", نشریه علوم و فناوری جوشکاری ایران، سال ۶، شماره ۲، ص ۵۳-۶۳. ۱۳۹۹

4- Mishra, R.S. and Ma, Z.Y., "Friction stir welding and processing", *Materials Science and Engineering R*, Vol. 50, pp. 1-78, 2005.

5- یوسفیه، م. و جباری، ا.، "مدل‌سازی دما در جوشکاری اصطکاکی - اختلاطی فولاد زنگ نزن دوفازی بهمیله روش‌های لاگرانژ چند متغیره، برونوایی خطی و رگرسیون خطی چندگانه"، نشریه علوم و فناوری جوشکاری ایران، سال ۶، شماره ۲، ص ۶۵-۷۶. ۱۳۹۹

6- Pitchipoo, P., et al., "Friction stir welding parameter optimization using novel multi objective dragonfly algorithm", *International Journal of Lightweight Materials and Manufacture*, Vol. 4, Issue 4, pp. 460-467, 2021.

7- Babu, S., Elangovan, K., Balasubramanian, V., Balasubramanian, M. "Optimizing friction stir welding parameters to maximize tensile strength of AA2219 aluminum alloy joints", *Metals and Materials International*, Vol. 15, pp. 321-330, 2009.

8- Zhang, Z., Xiao, B.L., Ma, Z.Y. "Effect of welding parameters on microstructure and mechanical properties of friction stir welded 2219Al-T6 joints", *Journal of Materials Science*, Vol. 47, pp. 4075-4086, 2012.

9- Yousefieh, M., Tamizifar, M., Boutorabi, S.M.A. et al., "An investigation on the microstructure, texture and mechanical properties of an optimized friction stir-welded ultrafine-grained Al-0.2 wt% Sc alloy deformed by accumulative roll bonding", *Journal of Materials Science*, Vol. 53, pp. 4623-4634, 2018.